

ESTUDO DE VULNERABILIDADE DO BIOMA AMAZÔNIA AOS CENÁRIOS DE MUDANÇAS CLIMÁTICAS

André Lyra



<u>Introdução</u>

Alterações no meio ambiente global em virtude do aumento da concentração atmosférica de CO₂.

- No clima;
- Na composição, estrutura e distribuição dos ecossistemas pelo planeta.

Amazônia:

Desempenha um papel significativo na circulação geral da atmosfera; rica em biodiversidade; considerada como sumidouro de carbono.

Mesmo a floresta mais remota pode responder a mudanças globais.

<u>Objetivos</u>

Investigar os possíveis impactos no bioma Amazônia resultantes das mudanças climáticas projetadas com diferentes cenários de emissão de GEE.

- Baseado em modelos climáticos atmosféricos e modelos de vegetação dinâmica que simulam a biosfera terrestre.
- Compreender a dinâmica de interação entre vegetação e a atmosfera através de simulações para o período passado.
- Analisar as projeções climáticas futuras a nível regional na área do bioma Amazônia.

Modelos de vegetação dinâmica

Simulam os fluxos de calor entre a atmosfera, a superfície e o solo.

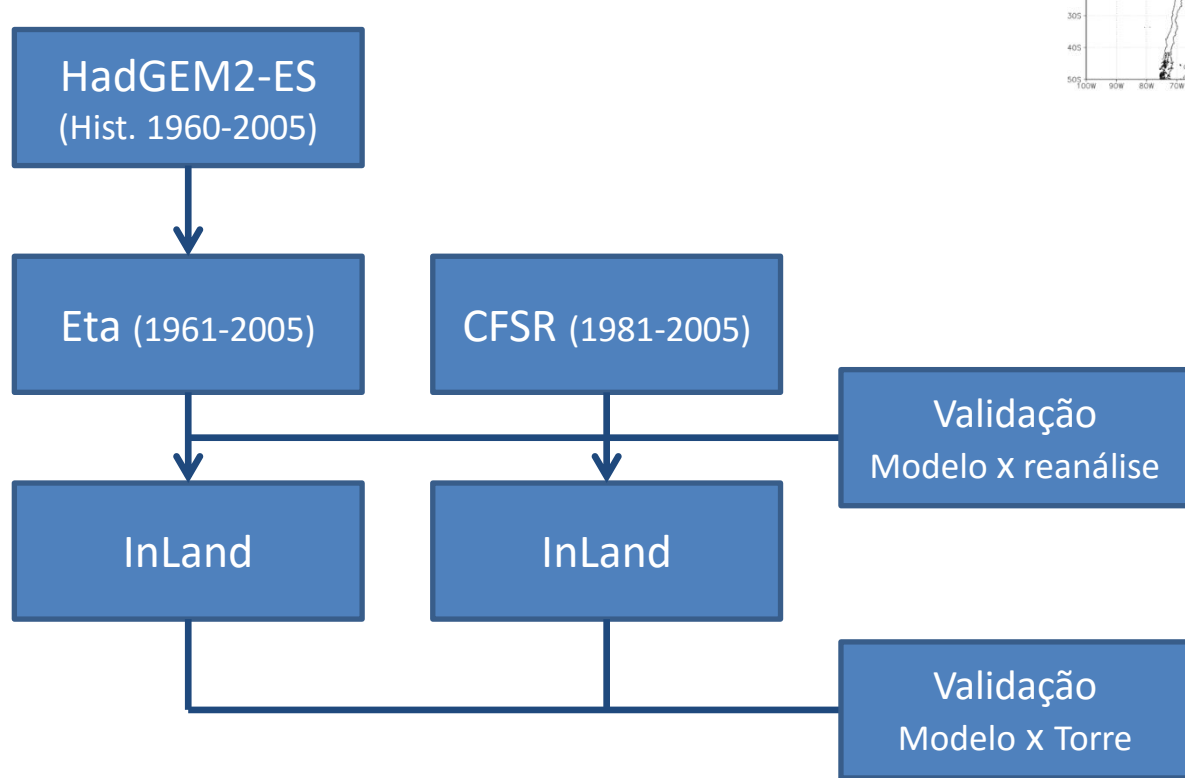
Incluem processos como: fotossíntese, respiração, fluxos de energia, alocação de carbono e nutrientes nas plantas.

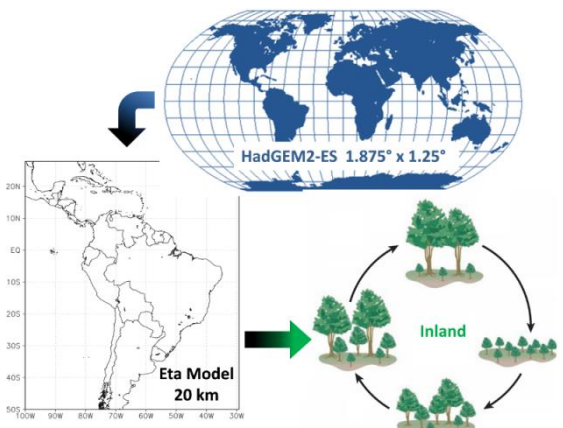
Simulam as variações na cobertura de vegetação e no fluxo de carbono, que estão associados aos ciclos biogeoquímicos.

Devem ser capazes de simular os impactos do clima e das mudanças da concentração de CO₂ na vegetação e no solo.

Metodologia

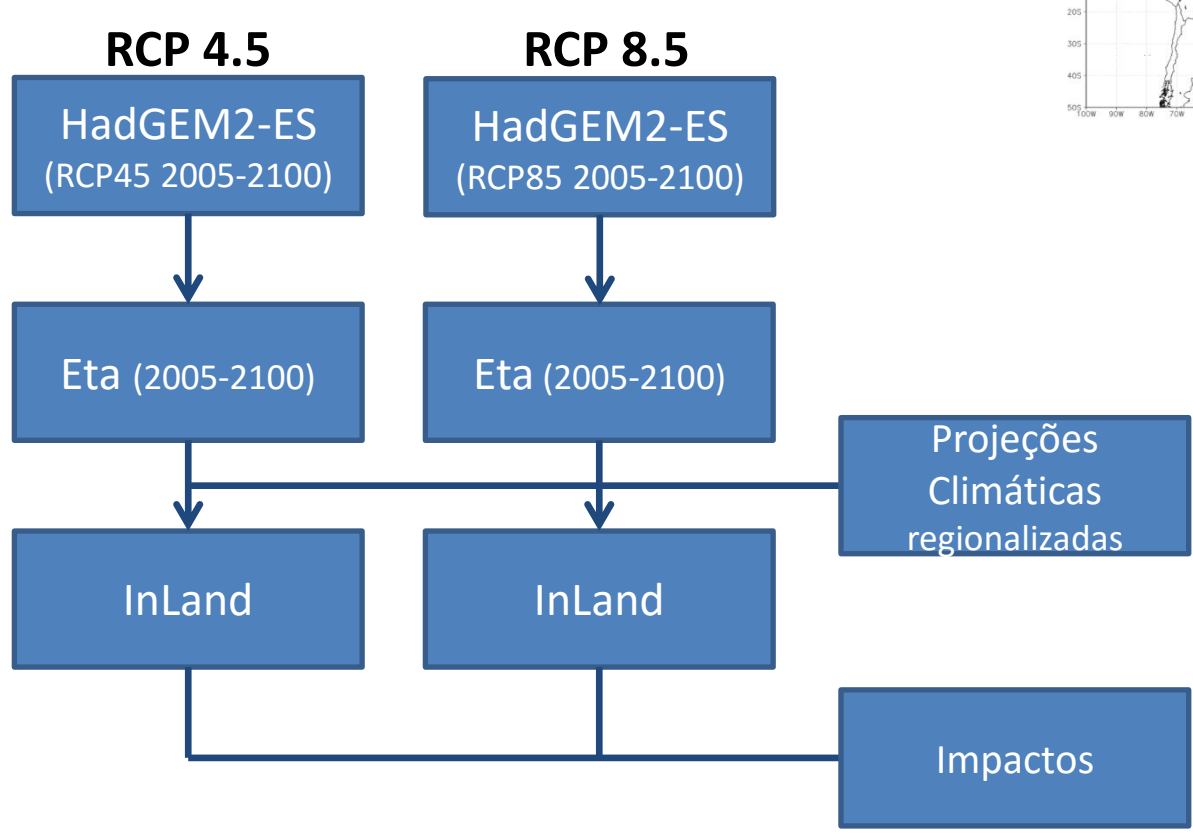
Validação

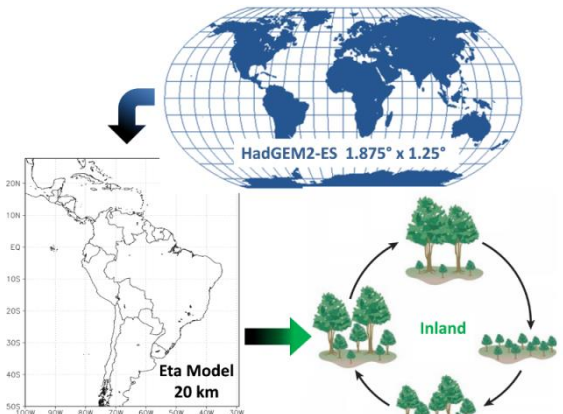




Metodologia

Impactos





InLand

Modelo integrado da biosfera que inclui processos da superfície terrestre, balanço do carbono terrestre e vegetação dinâmica (Foley et al., 1996).

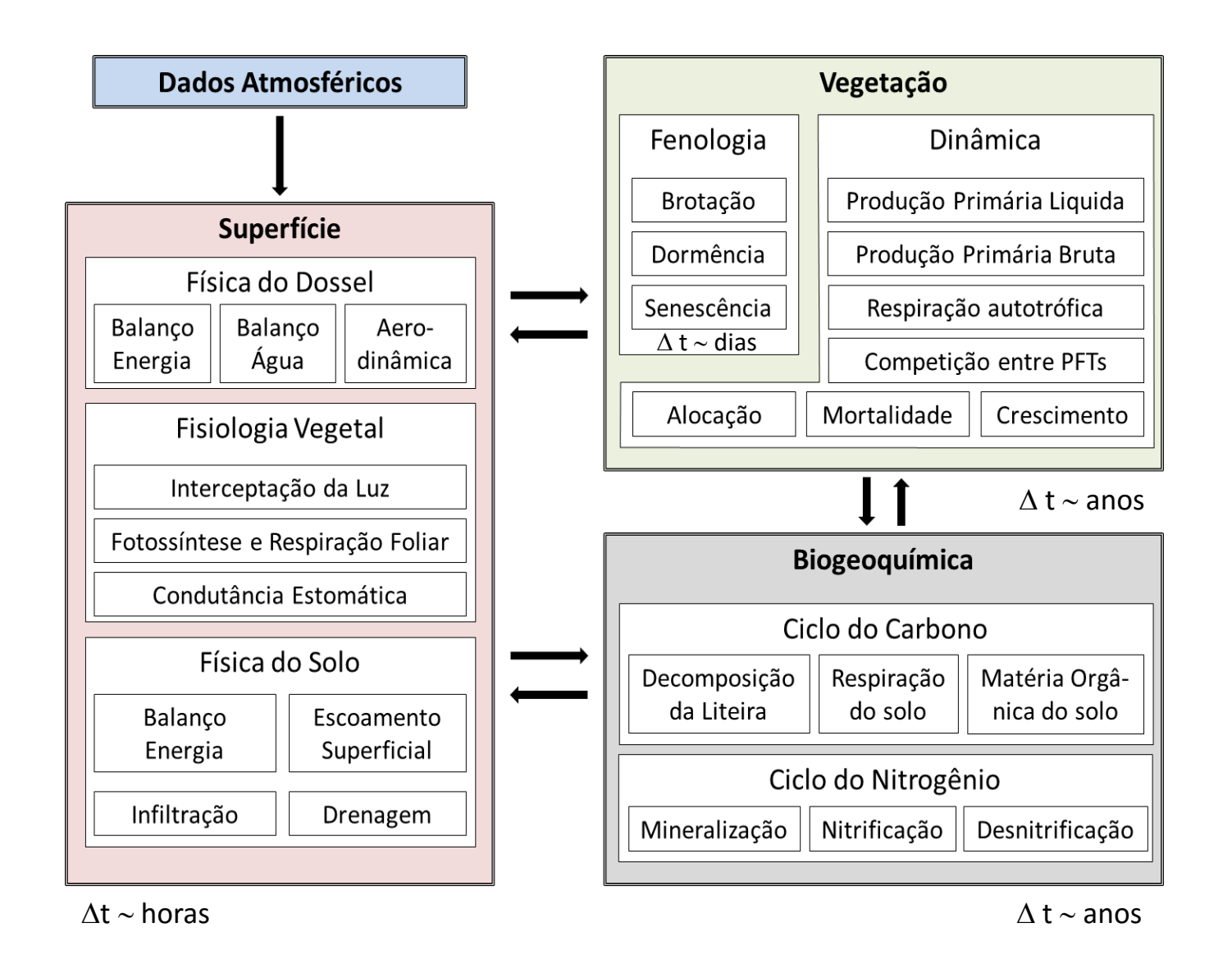
Biofísica da superfície terrestre, fluxo de carbono terrestre, vegetação dinâmica representados em uma estrutura simples e fisicamente consistente.

Projetado em torno de uma estrutura hierárquica e modular.

Módulos possuem diferentes passos de tempo.

Melhor representação dos processos relevantes nos trópicos e particularmente na América do Sul e no Brasil

InLand



dossel superior

InLand

Índice	Bioma			
1	Floresta Tropical Perene			
2	Floresta Tropical Decídua			
3	Floresta Temperada Folhosa Perene			
4	Floresta Temperada Conífera Perene			
5	Floresta Temperada Decídua			
6	Floresta Boreal Perene			
7	Floresta Boreal Decídua			
8	Floresta Mista/Bosque			
9	Savana			
10	Pastagem Natural/Estepe			
11	Arbustos Densos			
12	Arbustos			
13	Tundra			
14	Deserto			
15	Deserto Polar/Rocha/Gelo			

Índice	Tipo Funcional de Plan	ta		
1	Árvores Tropicais Folhosas Perenes			
2	Árvores Tropicais Folhosas Decíduas			
3	Árvores Temperadas Folhosas Perenes			
4	Árvores Temperadas Coníferas Perenes			
5	Árvores Temperadas Folhosas Decíduas			
6	Árvores Boreais Coníferas Perene			
7	Árvores Boreais Folhosas Decíduas			
8	Árvores Boreais Coníferas Decíduas			
9	Arbustos perenes			
10	Arbustos Decíduos	dossel		
11				
12	Gramíneas Quentes (C_4) Gramíneas Frias (C_3)			
	J ,			

Diferentes TFPs

Bioma \leftarrow Distribuição TFP

Modelo Eta

Modelo em ponto de grade (**Grade E**)

Coordenada vertical: Eta Refinada

Resolução: 20km / 38 níveis

Variáveis prognósticas: **T, q, u, v, Ps, TKE, água de nuvem**

Esquema de Integração: 2 níveis, explícito (split-explicit)

Convecção: Betts-Miller-Janjic

Microfísica de nuvens: Zhao (1997)

Turbulência: Mellor-Yamada 2.5, MO camada superficial e Paulson

Radiação: GFDL. Tendências de temp. atualizadas a cada hora

Esquema de superfície: Noah – 4 camadas de solo

Condição de contorno: OAGCM, ESM

Umidade do solo inicial: Climatologia mensal

Albedo inicial: Climatologia sazonal

Modelo HadGEM2-ES

Hadley Centre, Grã Bretanha, Met Office, versão 2 (COLLINS et al., 2011; MARTIN et al, 2011)

Resolução: N96L38 (~1.875° longitude X 1.250° latitude, 38 níveis)

Oceano:

1/3 graus nos trópicos e 1 grau em latitudes maiores que 30°, 40 níveis;

Componentes do Sistema Terrestre:

- Vegetação dinâmica: TRIFFID (COX, 2001)
- Biogeoquímica oceânica: Diat-HadOCC
- Química da Troposfera: **UKCA** (ozônio, metano, ...)
- Aerossóis: Sulfato, BC, OC, poeira, sal marinho

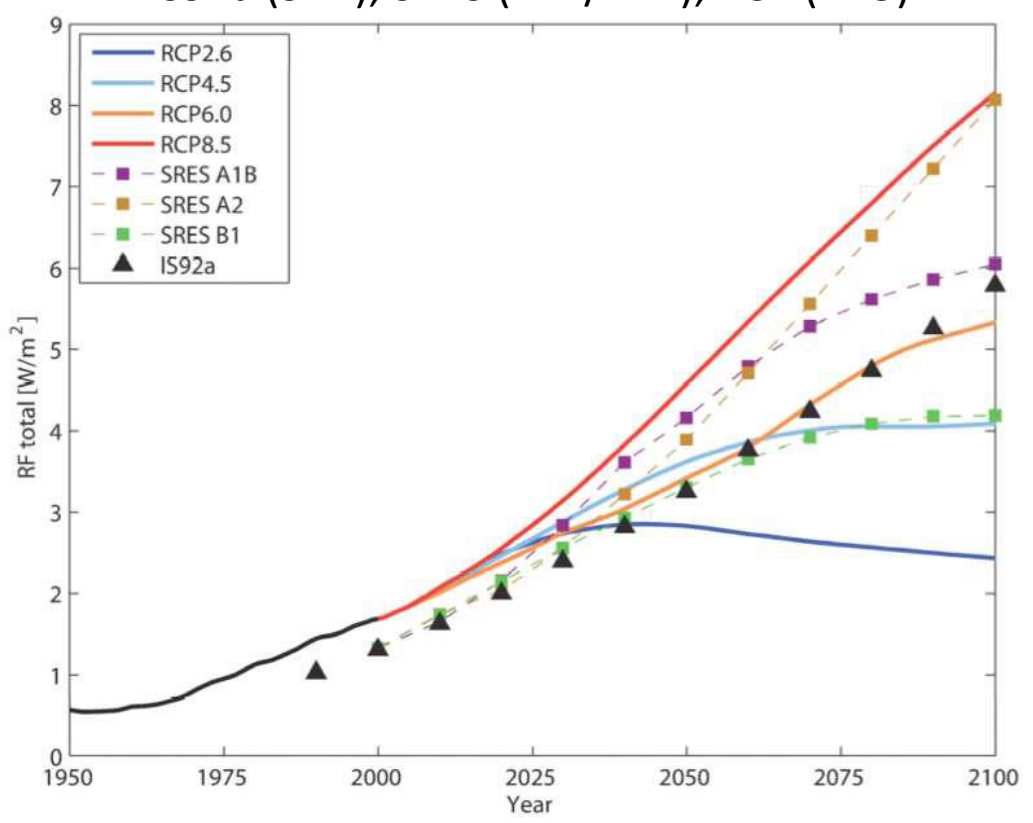
Cenários de emissão de GEE

RCP – "Representative Concentration Pathway"

Nome	Forçamento Radiativo	Concentração (ppm)	Caminho	Modelo
RCP8.5	> 8.5 W m ⁻² em 2100	> 1370 CO ₂ equiv. em 2100	Crescimento após 2100	MESSAGE
RCP6.0	~ 6 W m ⁻²	~ 850 CO ₂ equiv.	Estabilização após 2100	AIM
RCP4.5	~ 4.5 W m ⁻²	~ 650 CO ₂ equiv.	Estabilização após 2100	GCAM
RCP2.6	Pico de ~3 W m ⁻²	Pico de 490 CO ₂ equiv.	Pico antes de 2100 e declínio	IMAGE

Fonte: Adaptado de Moss et al. (2010).

Forçante radiativa antrópica total IS92a (SAR), SRES (TAR/AR4), RCP (AR5)



Atmosféricos – CFSR e EtaHadGEM2-ES (histórico)

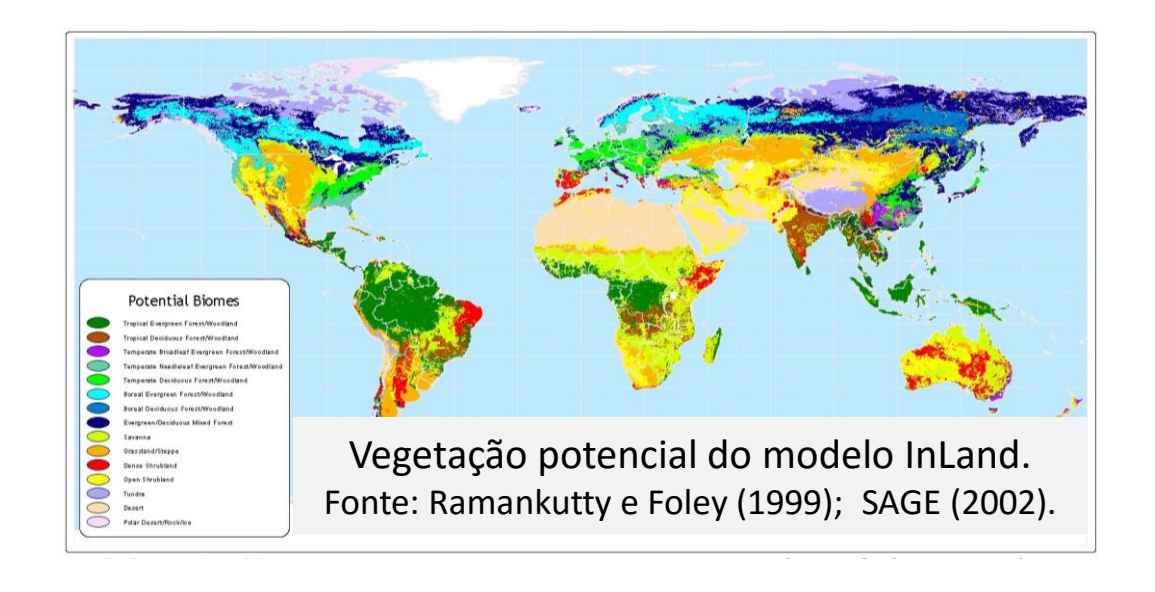
Dados

Torre K83 (Santarém)



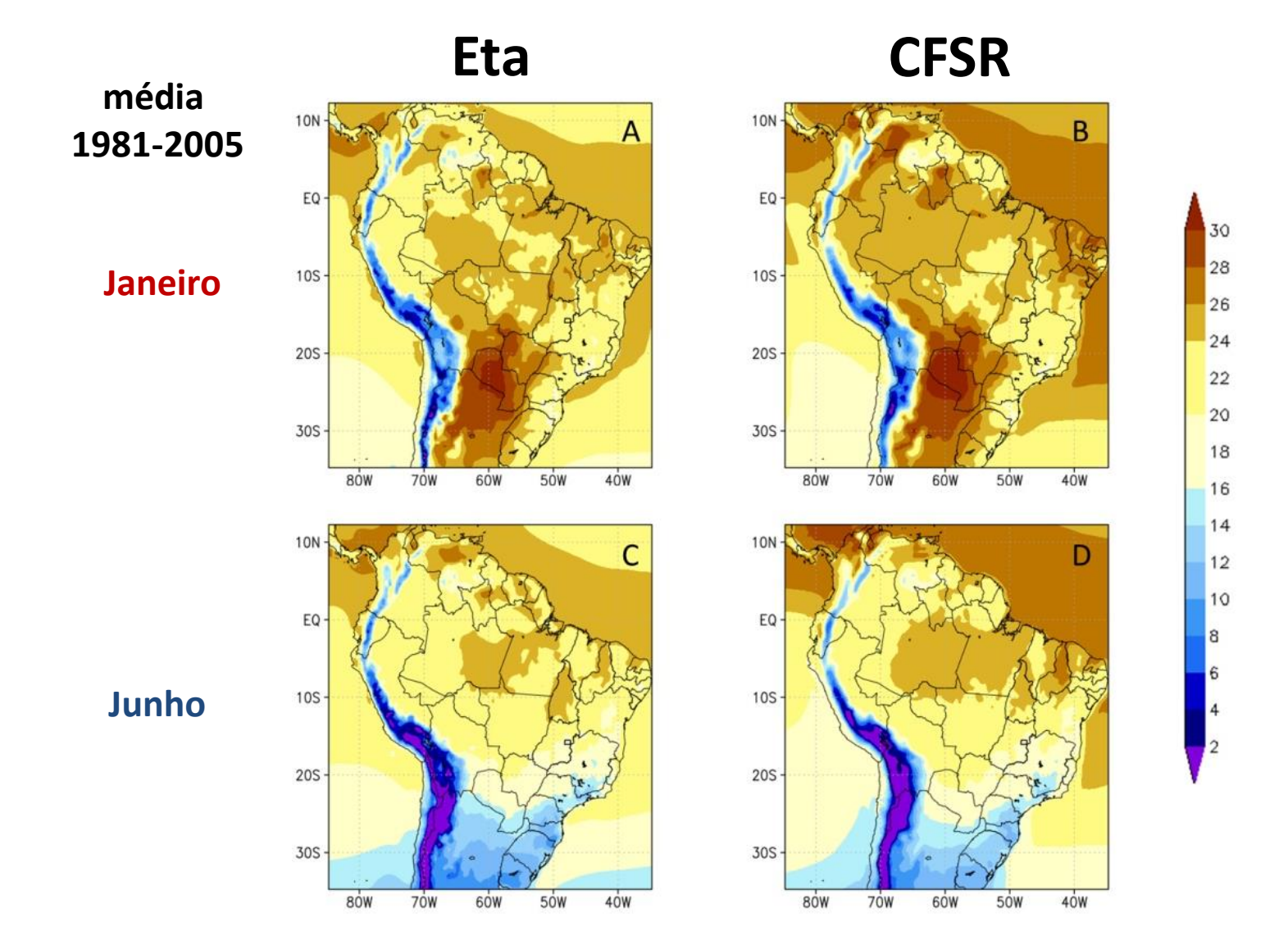
2002 a 2004

Descrição dos Dados	Unidades
Nebulosidade média diária	%
Temperatura media diária	°C
Precipitação diária	mm/dia
Umidade especifica média diária do ar	g/kg
Temperatura máxima diária	°C
Temperatura mínima diária	°C
Velocidade média diária do vento	m/s

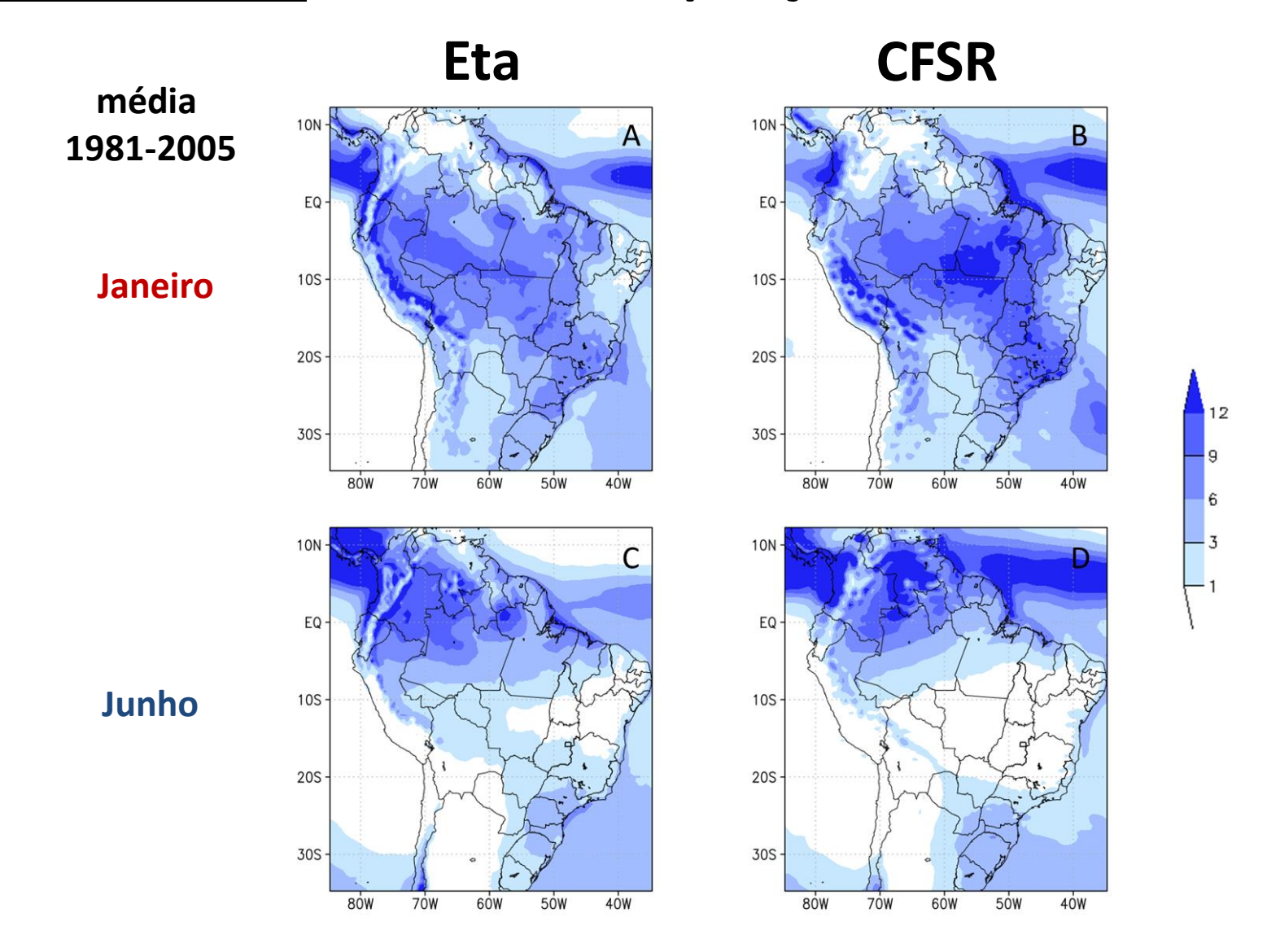


Propriedades do Solo (Carter e Scholes, 2000)

Temperatura



Precipitação

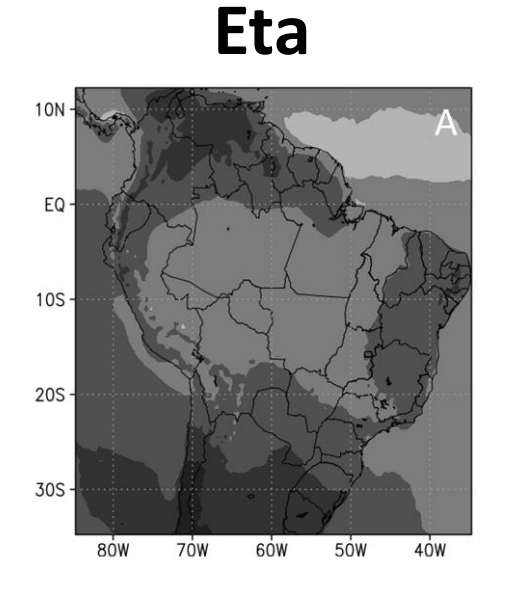


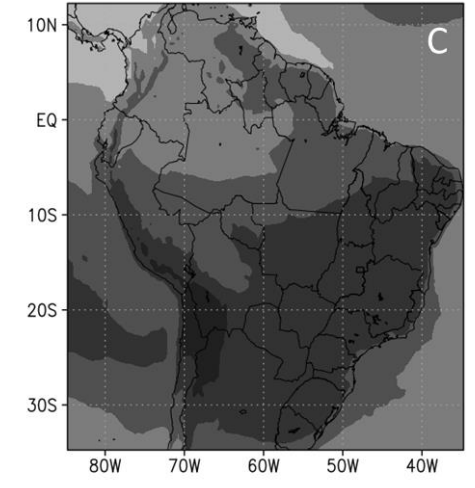
Cobertura de Nuvens



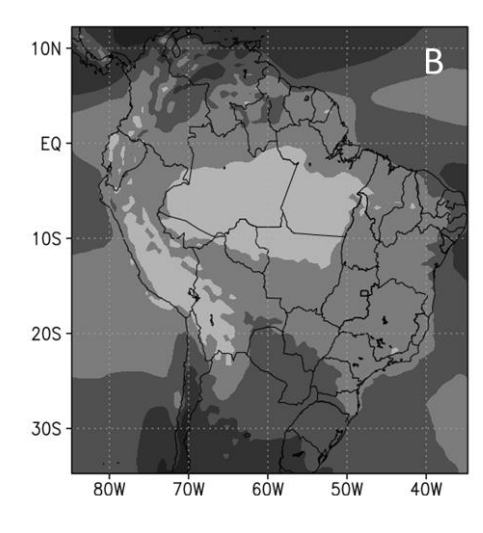
Janeiro

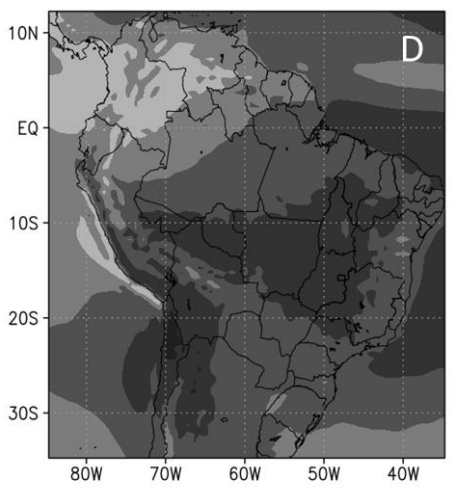
Junho

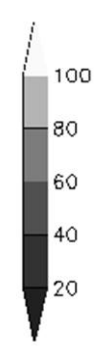




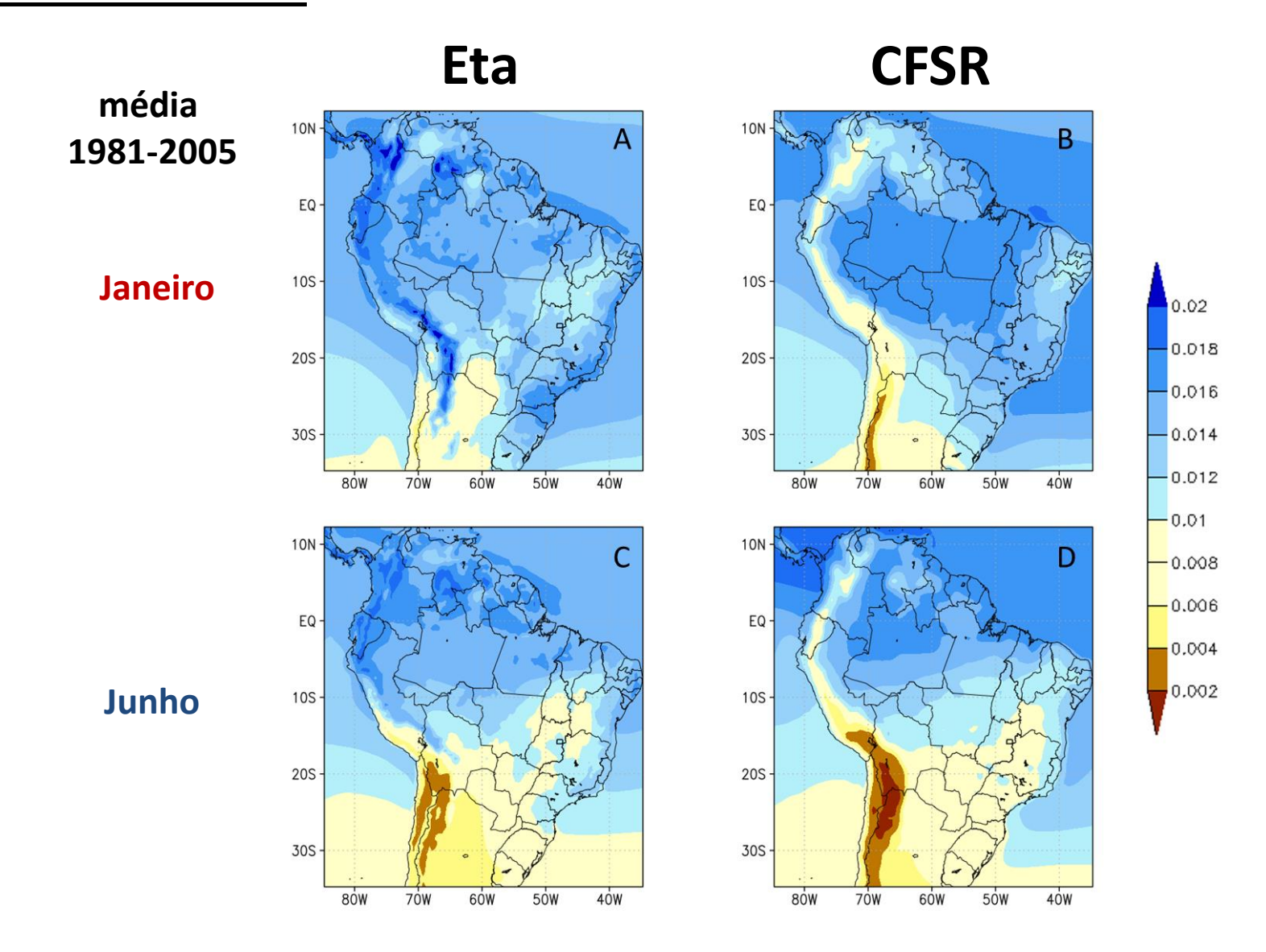
CFSR





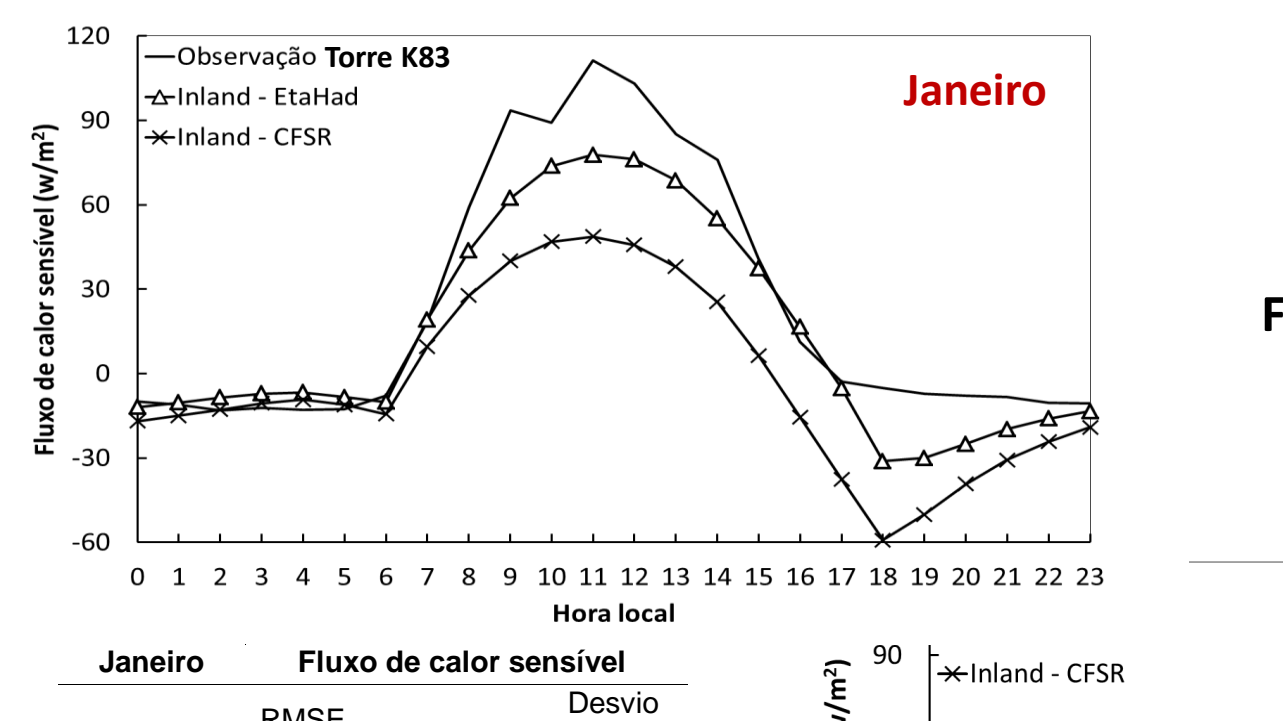


Umidade



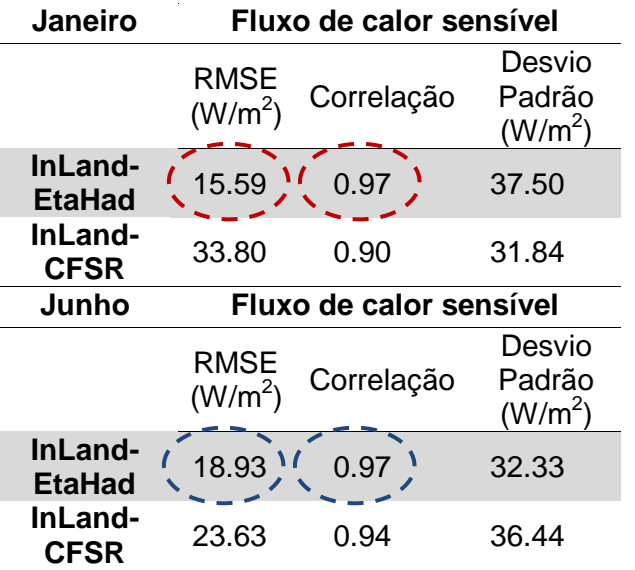
Validação

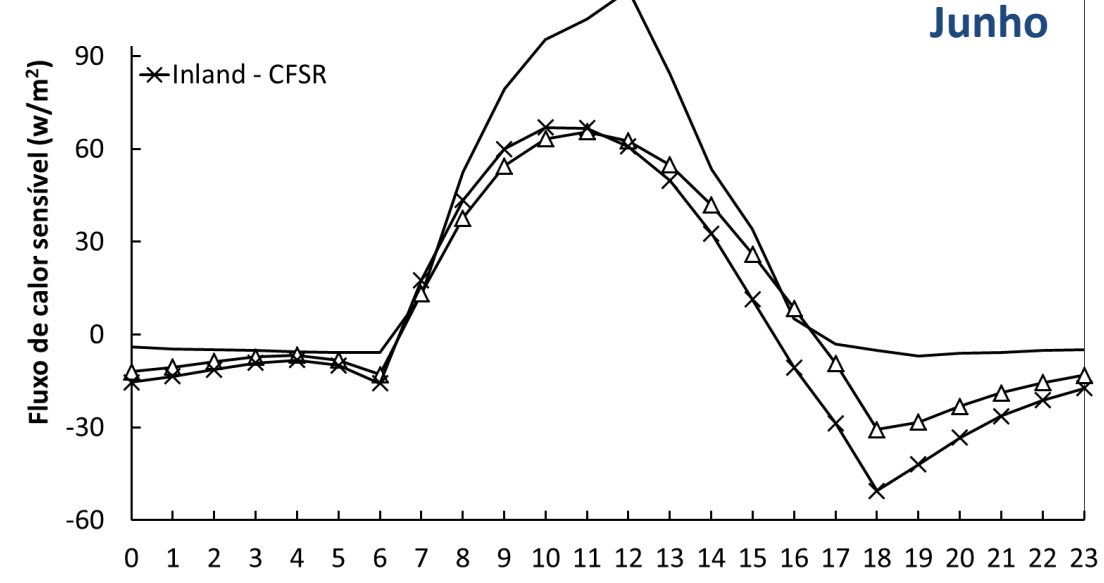
InLand



Ciclo Diurno Médio

Fluxo de calor sensível (w/m²)

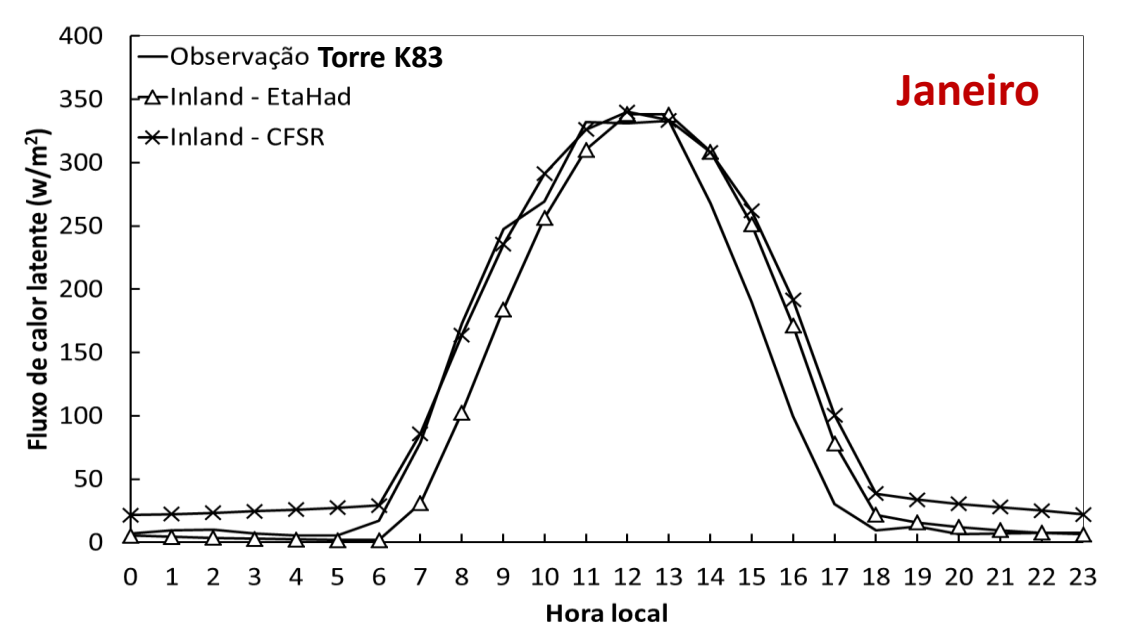




Hora local

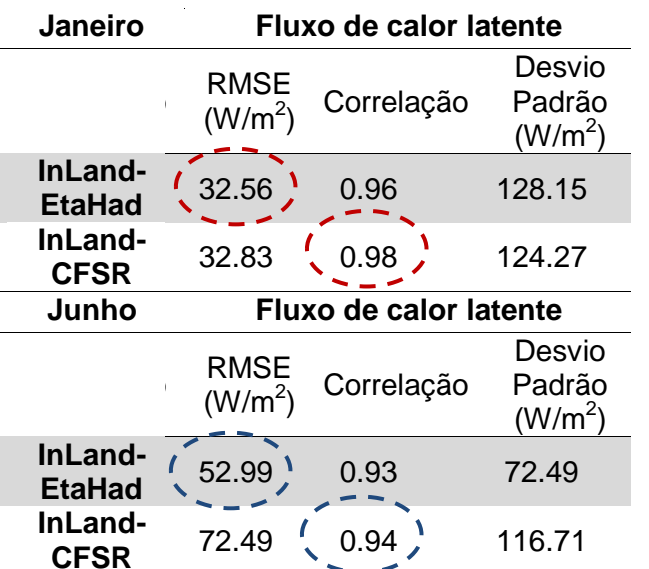
19

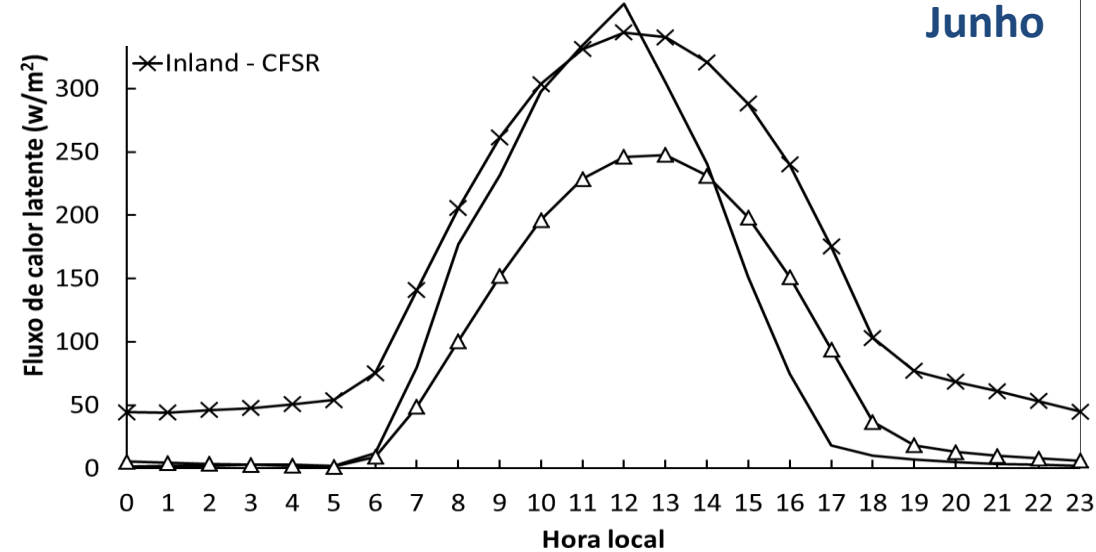
Defesa de Tese - André de Arruda Lyra



Ciclo Diurno Médio

Fluxo de calor latente (w/m²)





Projeções Climáticas

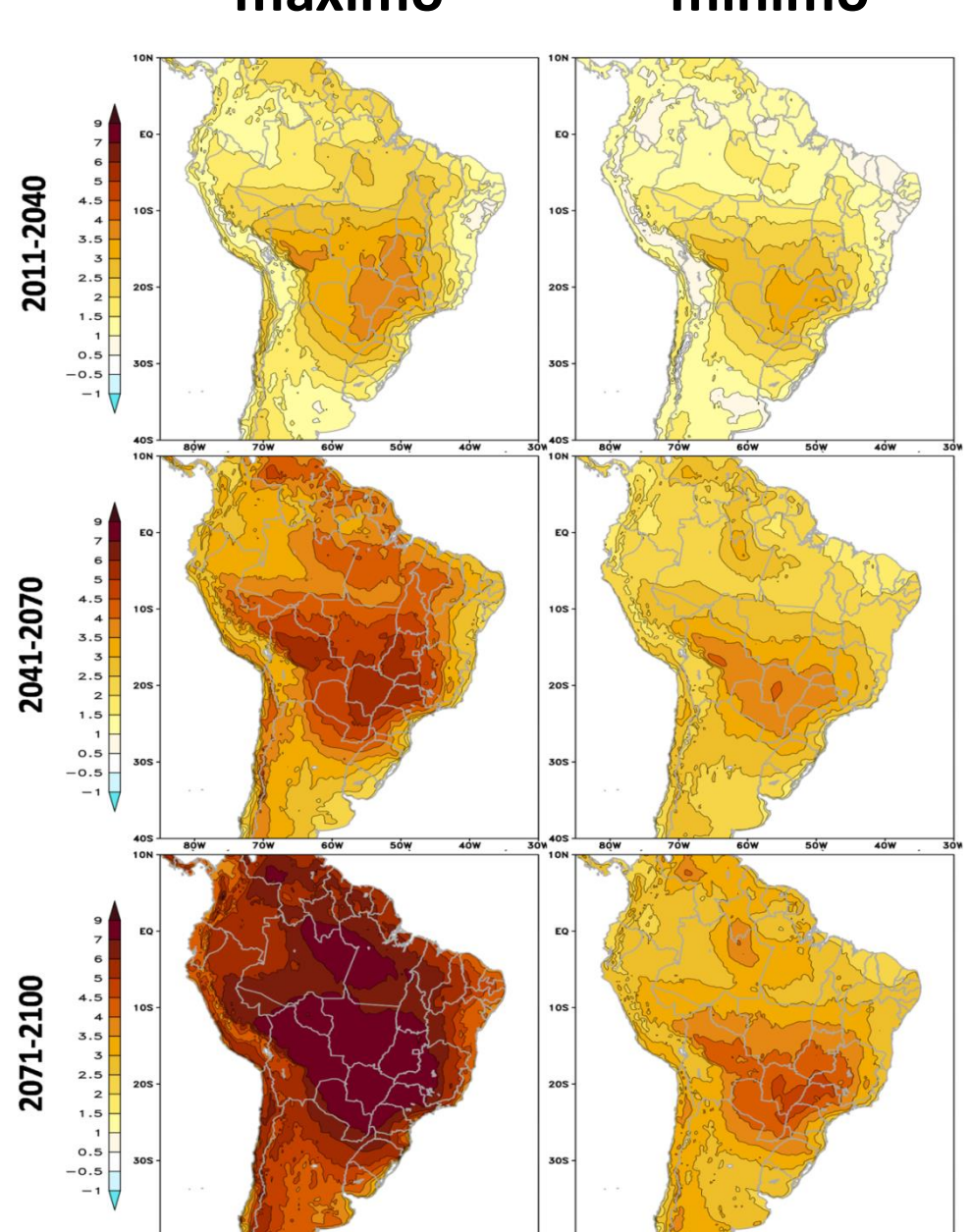
Modelo Eta

Limiar máximo

Limiar mínimo



DJF

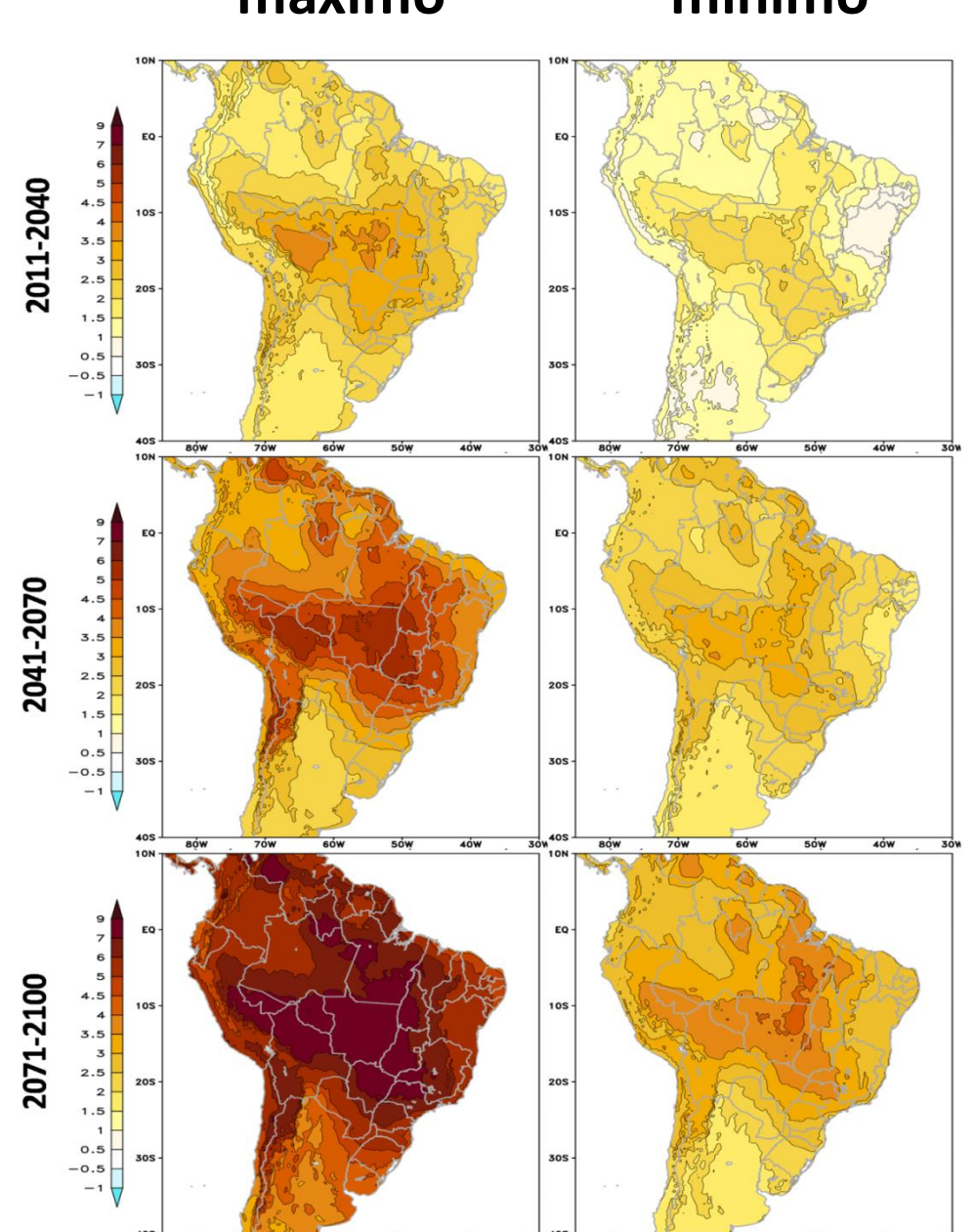


Limiar máximo

Limiar mínimo



JJA

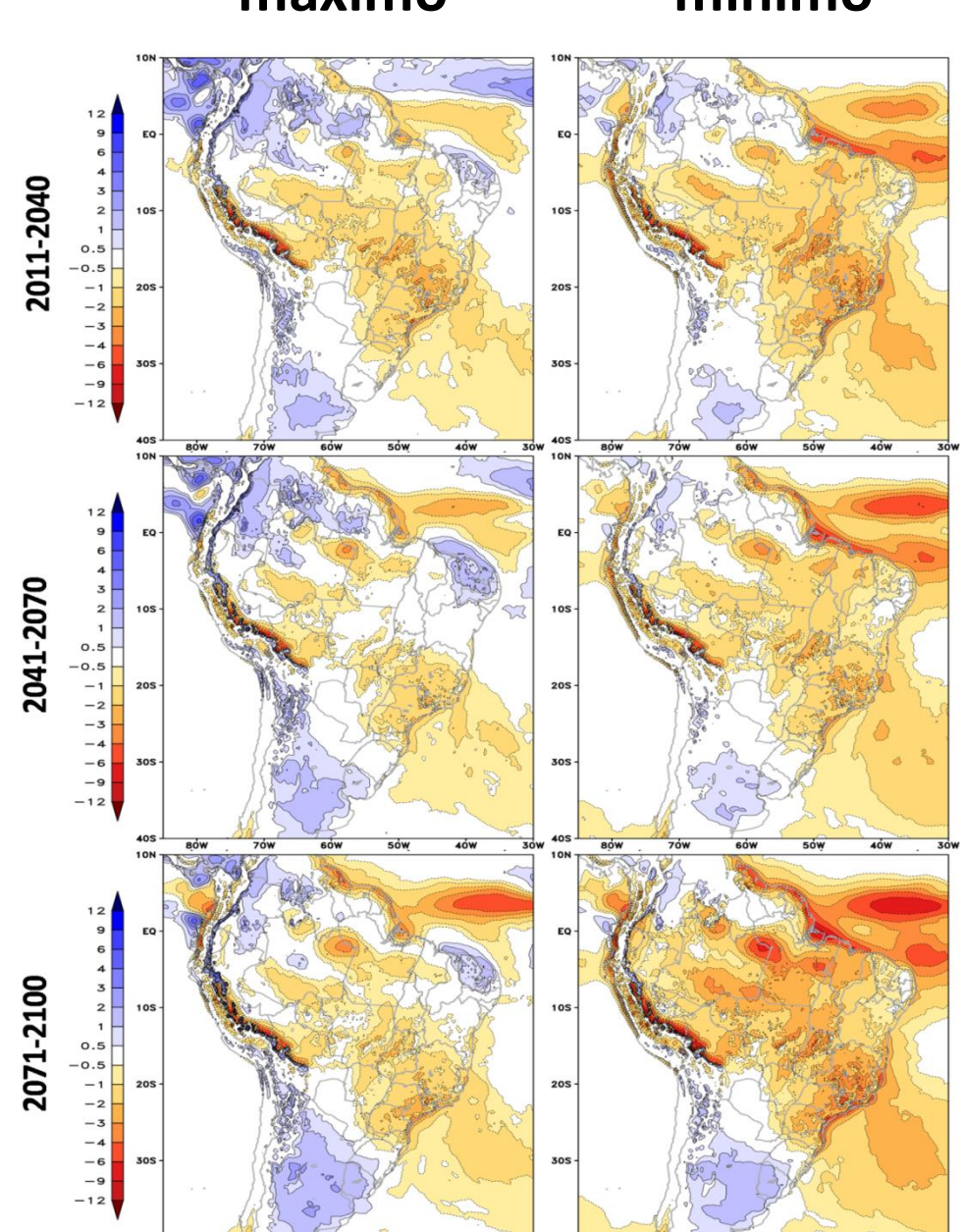


Limiar máximo

Limiar mínimo



DJF



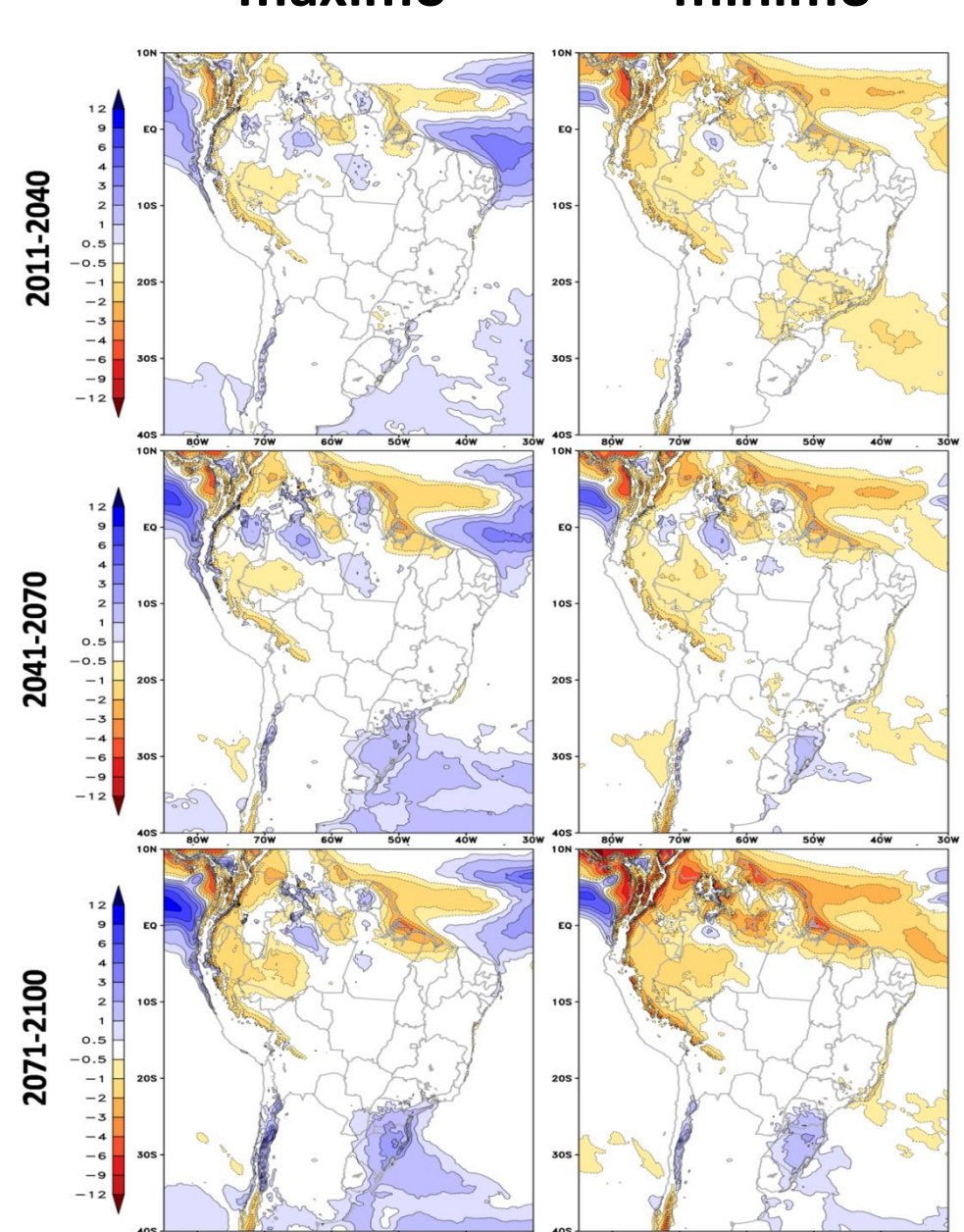


Limiar máximo

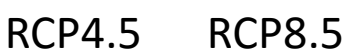
Limiar mínimo



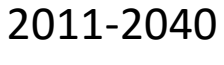
JJA



Clima presente



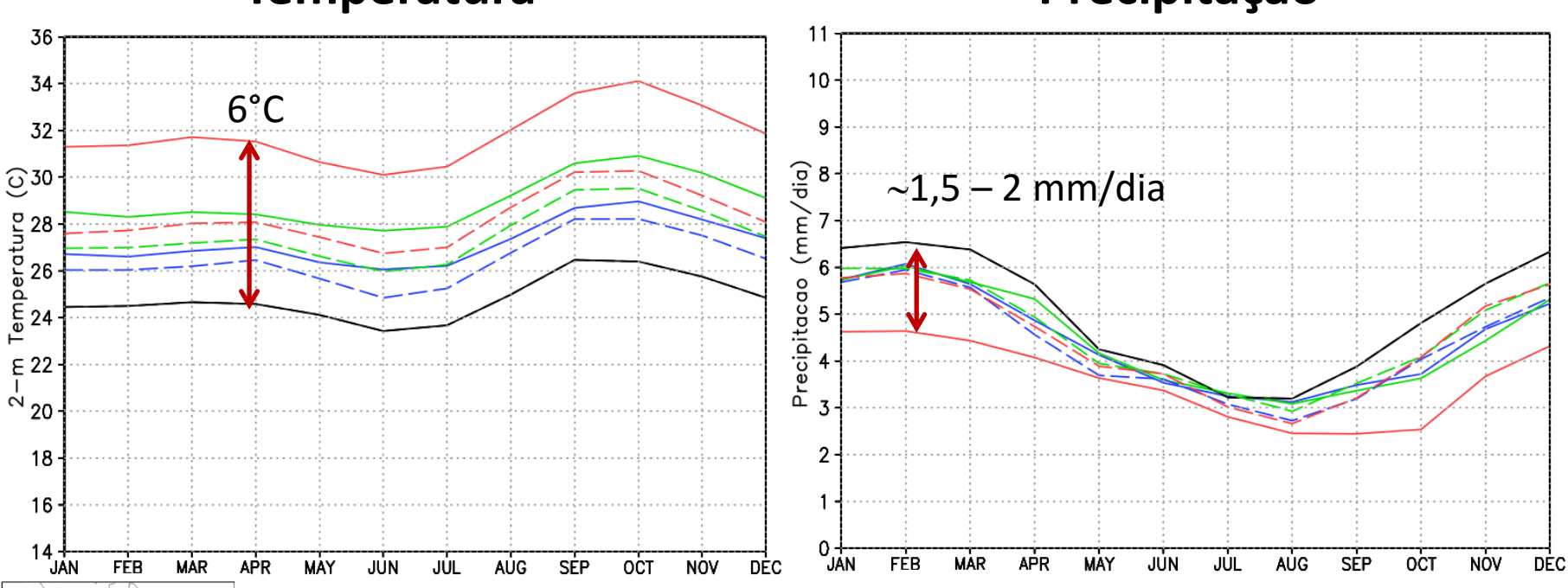


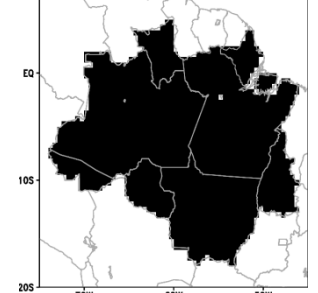




Temperatura

Precipitação





Clima presente

RCP4.5 **RCP8.5**

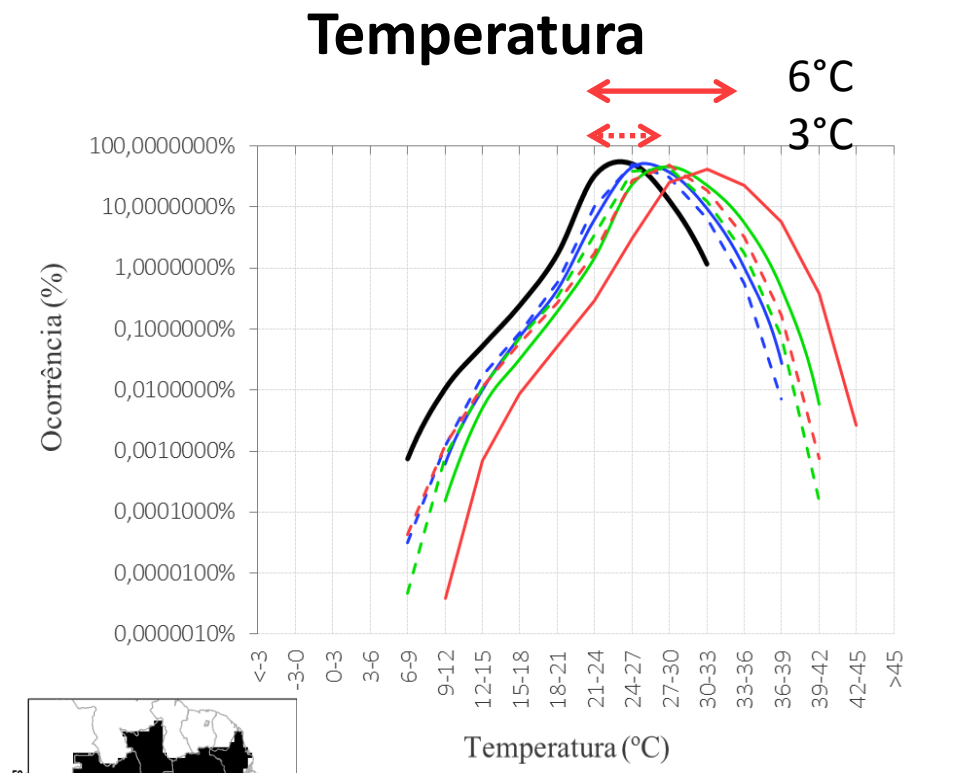
2011-2040 2041-2070

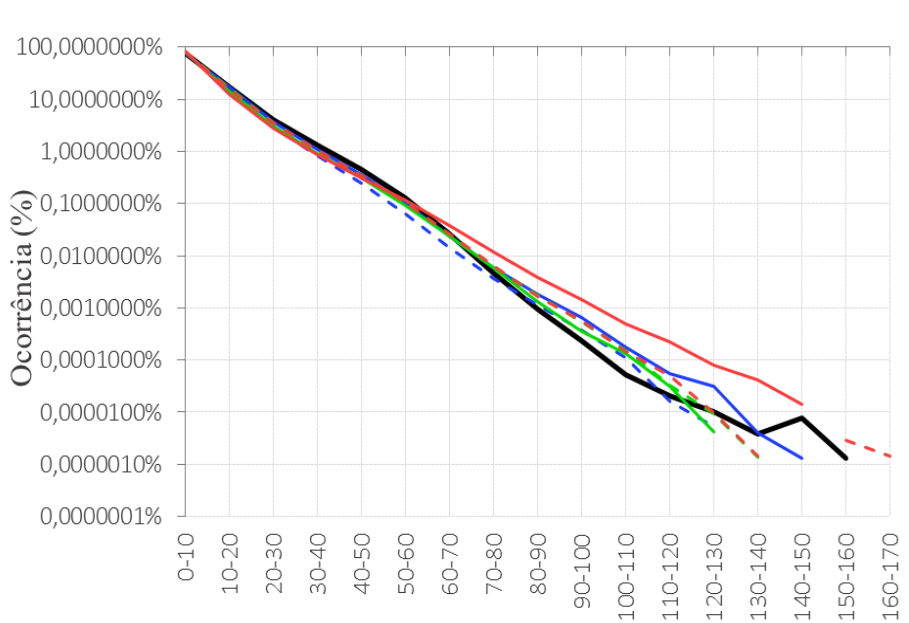
2071-2100

Frequência

Distribuição de

Precipitação





Precipitação (mm/dia)

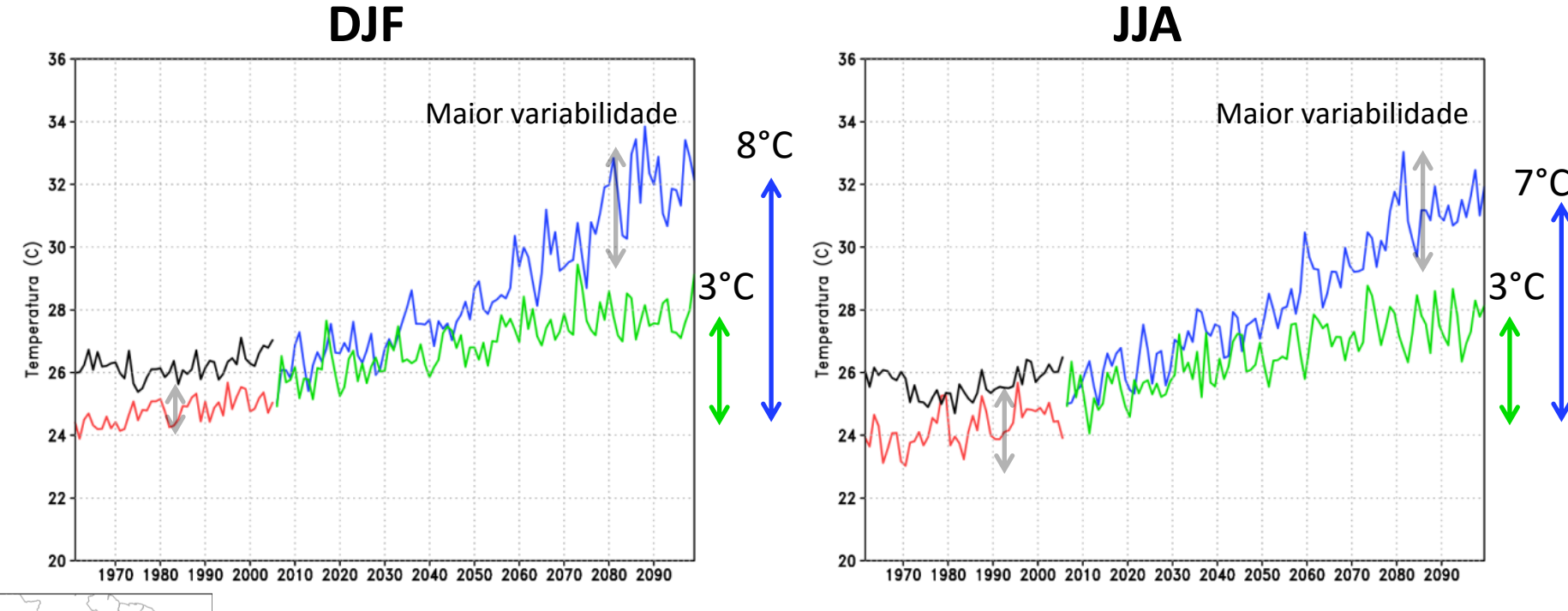
Evolução Temporal da Temperatura

Observação (CRU)

Clima presente

RCP4.5

RCP8.5



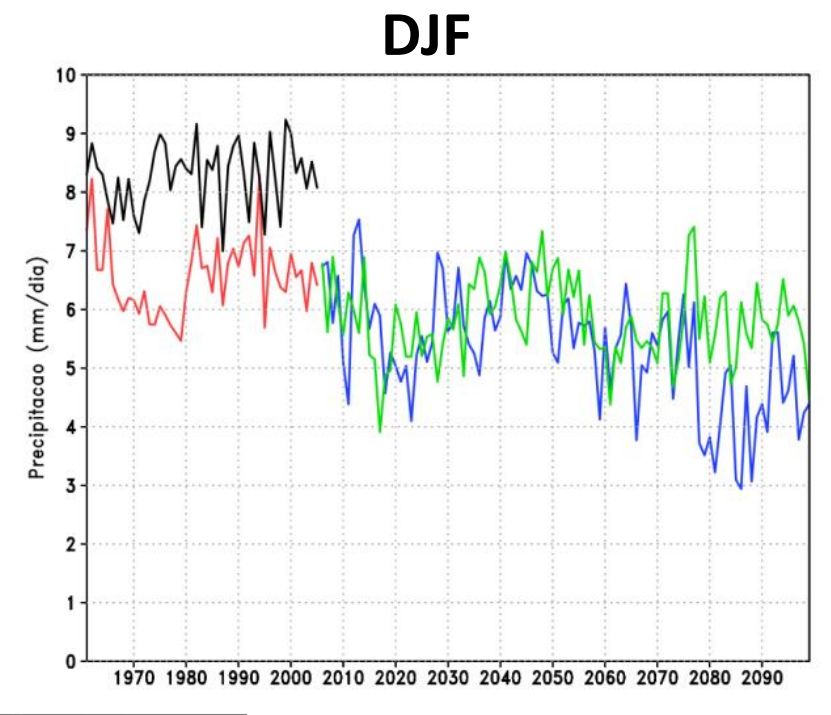
Evolução Temporal da Precipitação

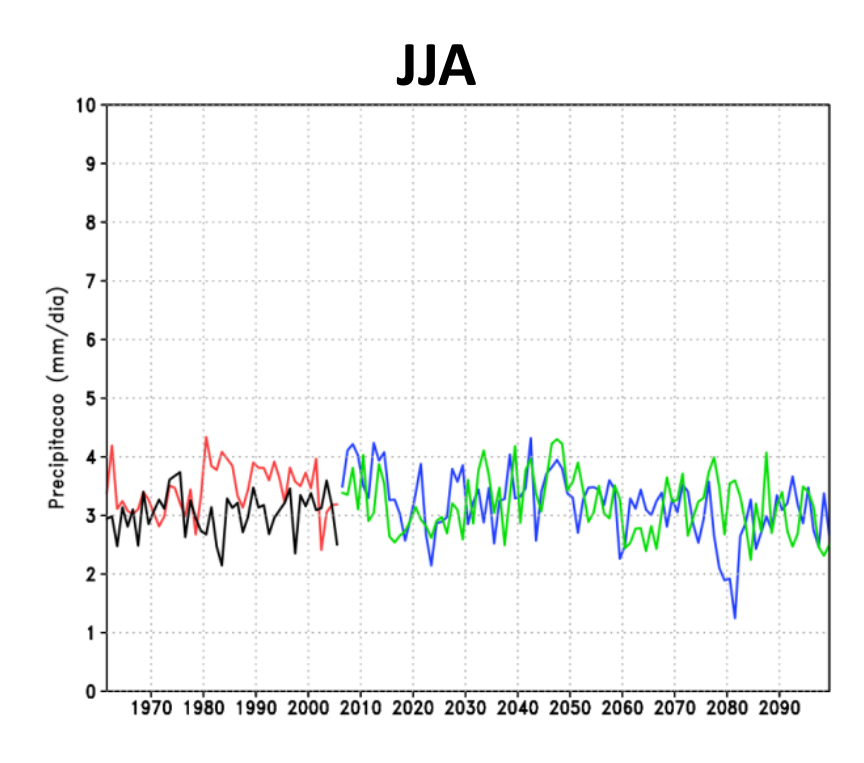
Observação (CRU)

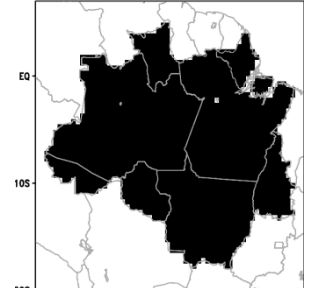
Clima presente

RCP4.5

RCP8.5





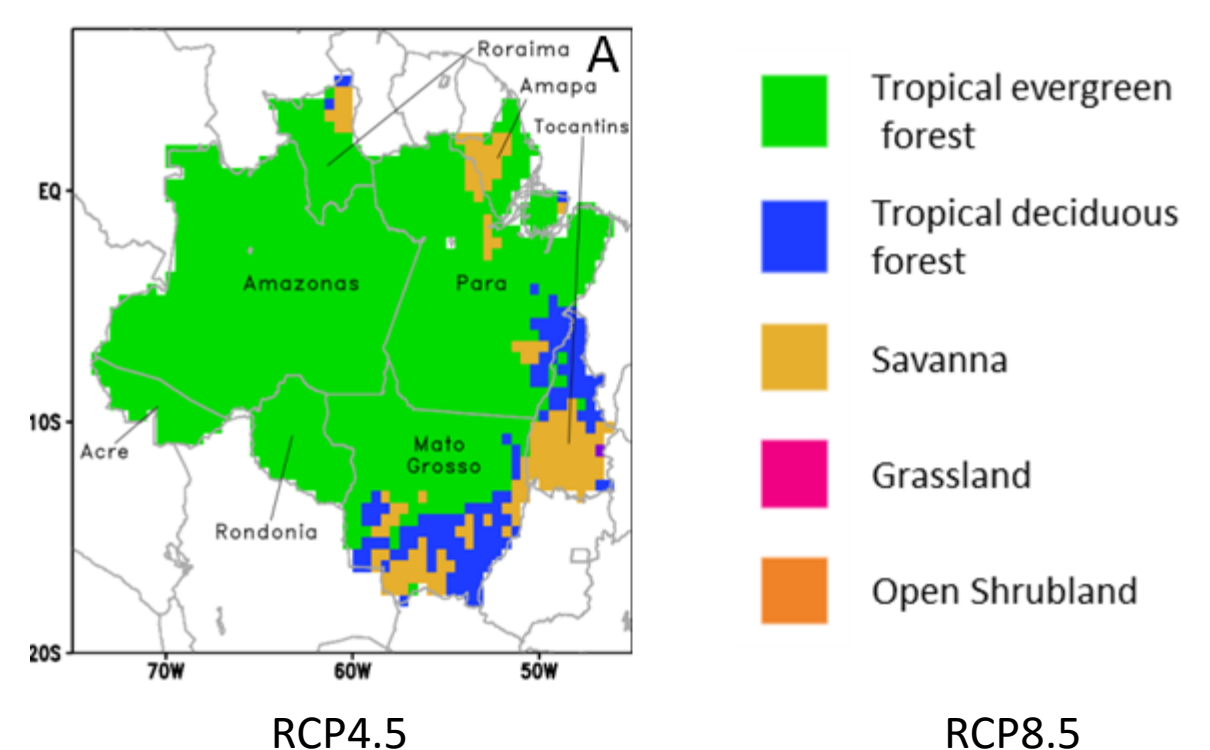


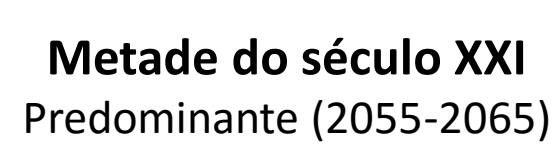
Tendência para redução da precipitação Aumento da variabilidade interanual Não apresenta tendência significativa Aumento da variabilidade interanual

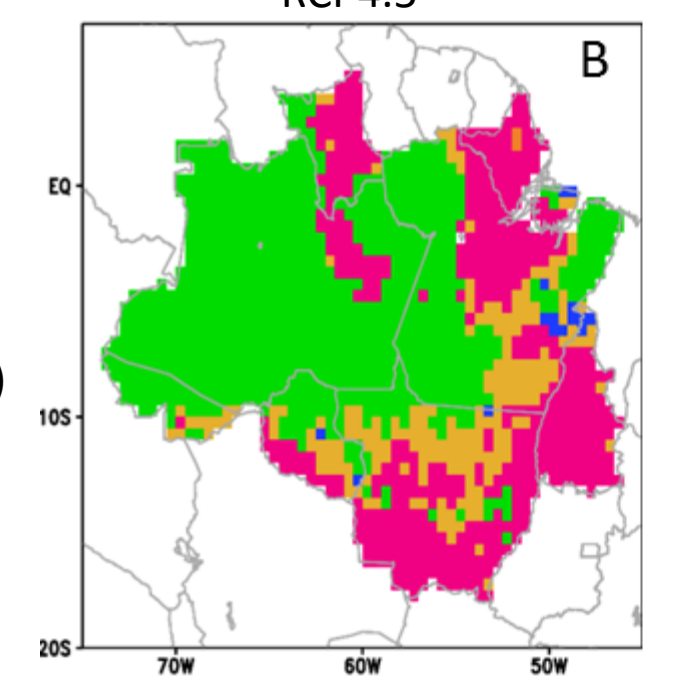
Impactos no Bioma Amazônia

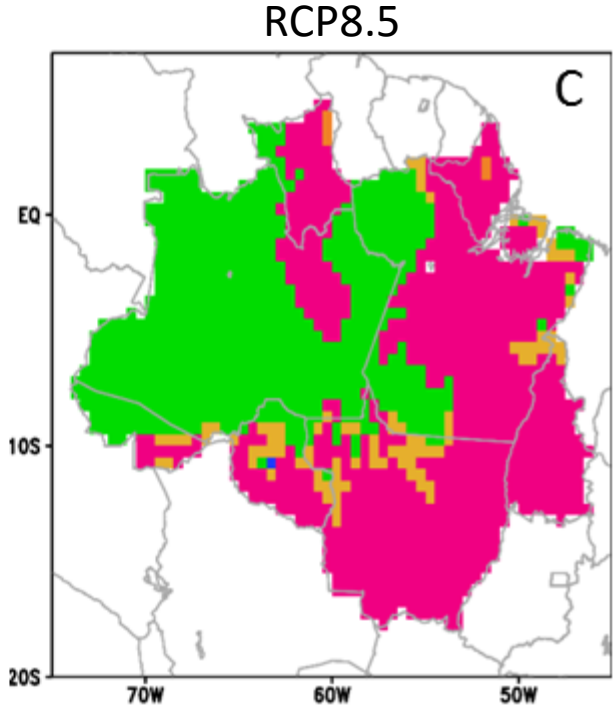
Projeções do Modelo Eta + InLand

Cobertura de vegetação: Inicial

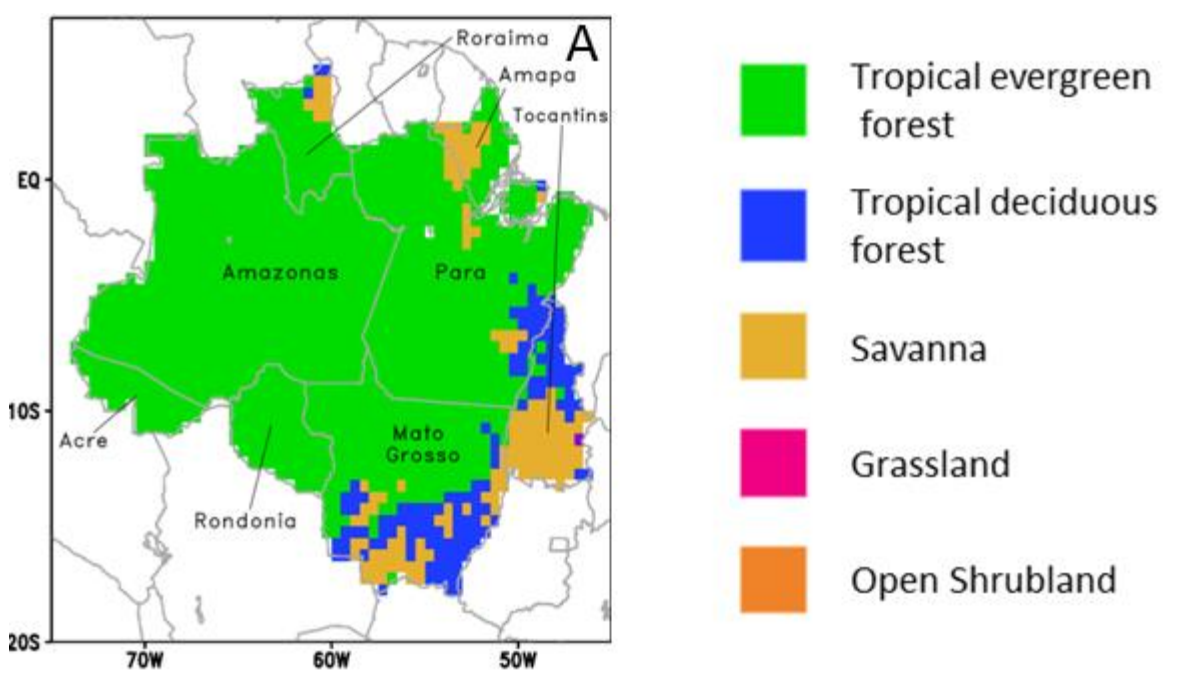


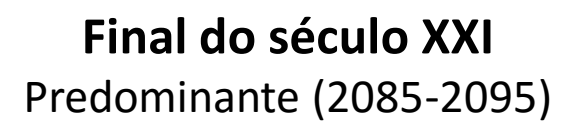


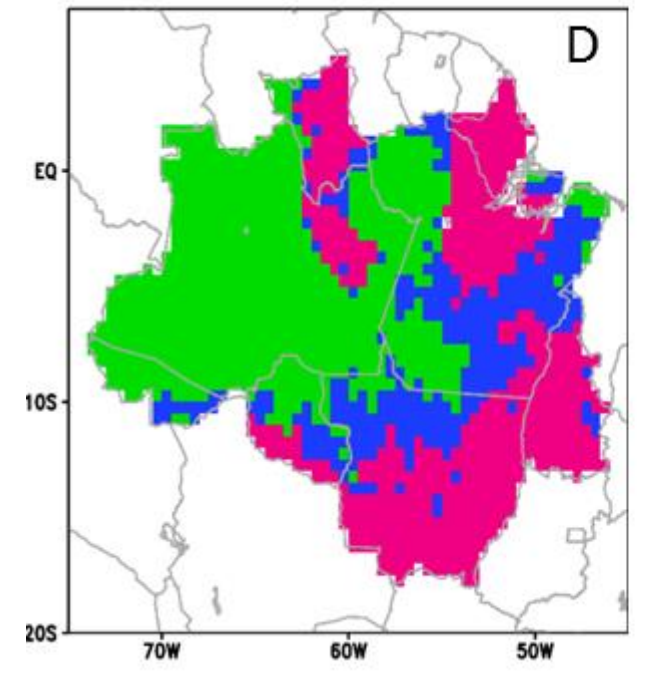




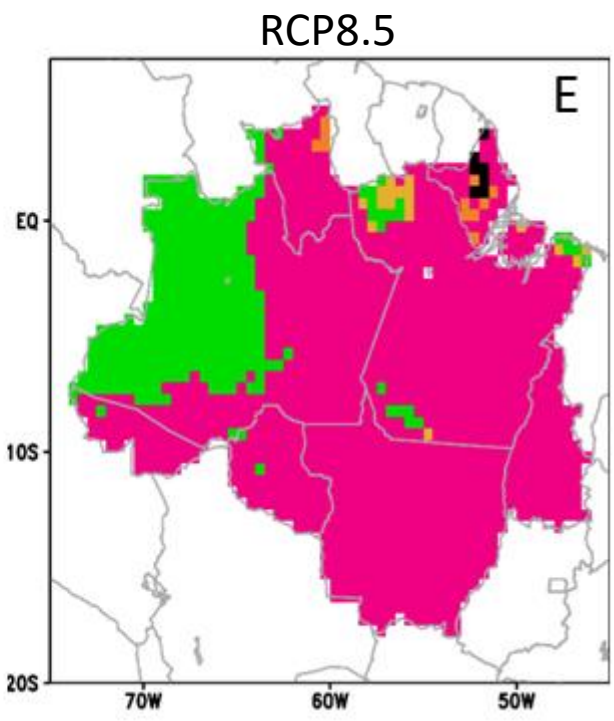
Cobertura de vegetação: Inicial

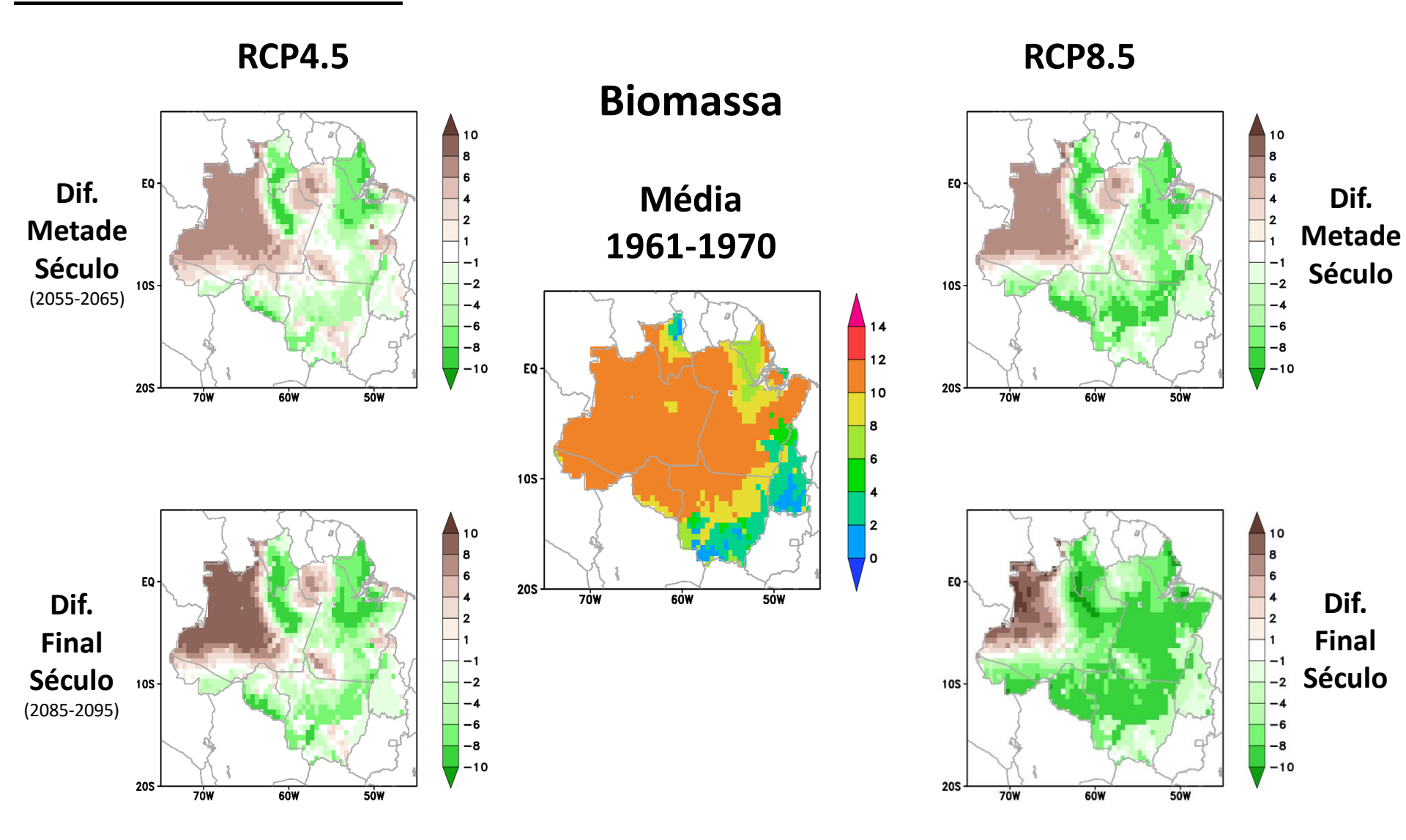


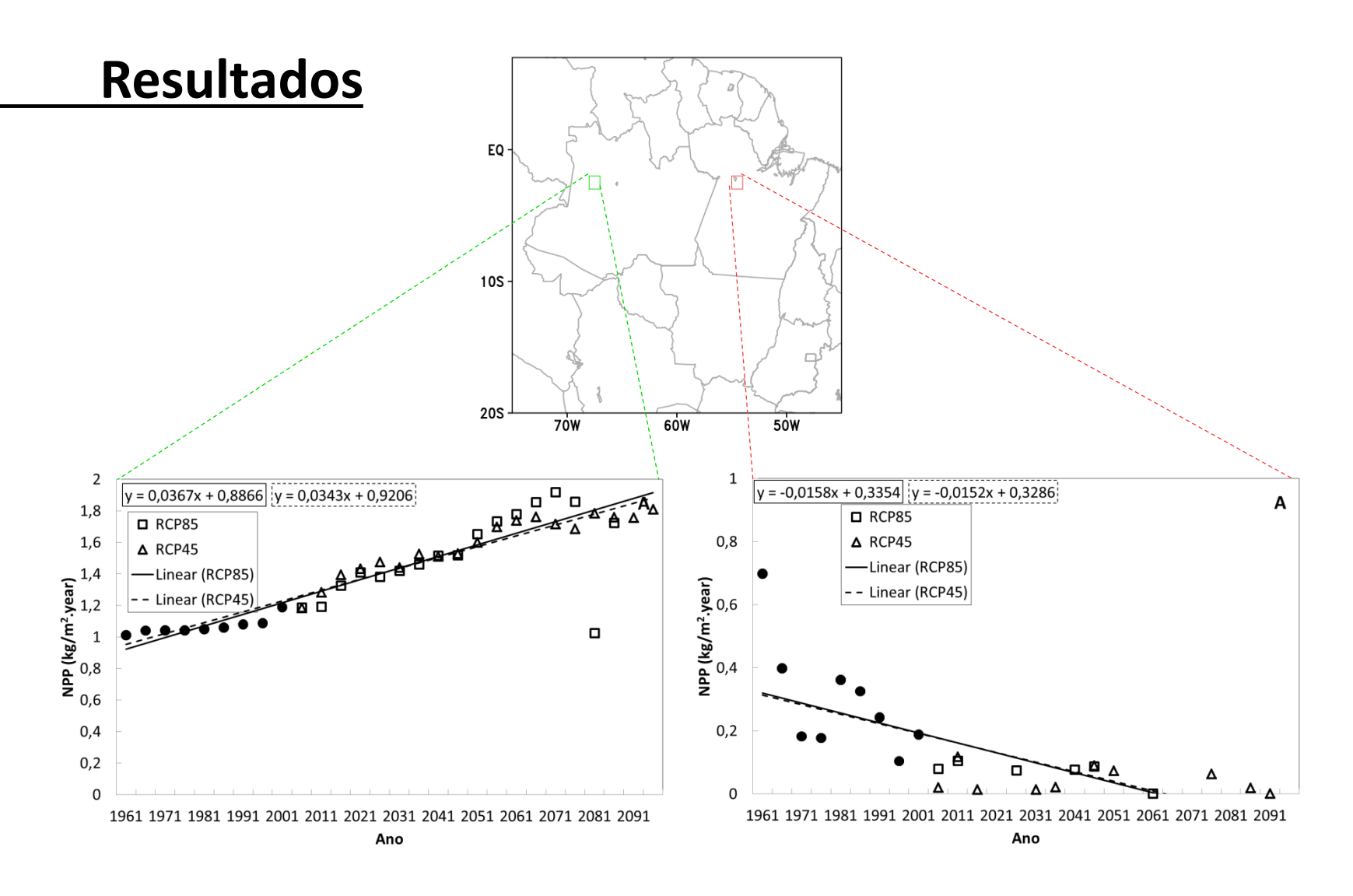




RCP4.5







NPP: PFT (Floresta Tropical)

Média a cada 5 anos

Conclusões

A aplicação do modelo InLand para integração de longo prazo e para o estudo das retroalimentações biosfera-atmosfera foi realizada de forma adequada.

Com a utilização do framework que engloba os modelos Eta-HadGEM2-ES e InLand foi possível identificar prováveis alterações no bioma Amazônia devido às mudanças no clima.

Os resultados apresentados aqui concordam com outros estudos, mas deve ficar claro que as respostas do bioma é dependente do modelo utilizado e que nesse caso se referem ao sistema Inland-Eta-HadGEM2-ES.

Conclusões

As simulações mostram que a mudança climática pode criar condições ambientais nunca antes experimentadas pelo bioma Amazônia.

A redução bioma Amazônia pode levar a um feedback positivo do aumento da temperatura e afetar ainda mais o ciclo hidrológico regional.

Obrigado!